

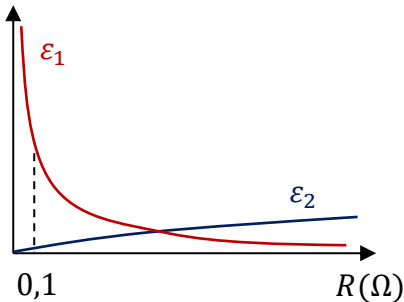
1) La résistance étant très faible, le calibre le mieux adapté est **500 Ω**. Ainsi, la résolution sera la plus fine.

L'incertitude-type u vaut $\frac{3 \cdot 10^{-4} + 0,3}{\sqrt{3}} = \mathbf{0,2 \Omega}$

Ce mode de mesure est **inadapté**.

[Je pense que la réponse sans la division par $\sqrt{3}$ a été acceptée]

2-4) $U_1 = (R + R_A)I_1 \rightarrow R_1 = R + R_A \rightarrow \epsilon_1 = \frac{R_A}{R}$ $U_2 = \frac{RR_V}{R+R_V}I_2 \rightarrow R_2 = \frac{RR_V}{R+R_V} \rightarrow \epsilon_2 = \frac{R}{R+R_V}$



La résistance R_V étant beaucoup plus grande que R_A , il apparait clairement que **la méthode 2** est la seule pertinente.

$R = 5,50 \cdot 10^{-2} \Omega$ ($\epsilon_2 = 5 \cdot 10^{-9}$) $u(R) = R \sqrt{\frac{u^2(U_2)}{U_2^2} + \frac{u^2(I_2)}{I_2^2}}$

Avec $u(U_2) = \frac{3 \cdot 10^{-3} \cdot 0,2875 + 2 \cdot 10^{-4}}{\sqrt{3}} = 6,13 \cdot 10^{-4} \text{ V}$

et $u(I_2) = \frac{10^{-2} \cdot 5,23 + 3 \cdot 10^{-2}}{\sqrt{3}} = 4,75 \cdot 10^{-2} \text{ A}$

$\rightarrow u(R) = \mathbf{5 \cdot 10^{-4} \Omega}$

La précision est bien meilleure. On pourrait peut-être améliorer la qualité de la mesure avec un pont de Wheatstone [Voir exercice 3.4 du TD *Signaux physiques*]. On en déduit $\gamma = \frac{l}{SR} = \frac{10}{10^{-6}\pi R} = \mathbf{6 \cdot 10^7 \Omega^{-1} \cdot m^{-1}}$

5) $\vec{f}_C + \vec{f}_D = \vec{0} \rightarrow \vec{v}_{lim} = -\frac{\tau e}{m} \vec{E} \rightarrow \vec{j} = -ne\vec{v}_{lim} = \frac{n\tau e^2}{m} \vec{E} \rightarrow \gamma = \frac{n\tau e^2}{m}$

6) $\vec{p}_i(t + dt) = \vec{p}_i(t) + d\vec{p}_i$ La variation de \vec{p}_i pendant dt peut avoir deux origines, la force électrique (avec certitude) et une collision (avec une probabilité $\frac{dt}{\theta}$). Il en résulte que $d\vec{p}_i = \vec{f}_C dt + \frac{dt}{\theta} (\vec{p}_{i0}^+ - \vec{p}_i)$

Finalement, on obtient bien la relation $\vec{p}_i(t + dt) = \frac{dt}{\theta} \vec{p}_{i0}^+ + \left(1 - \frac{dt}{\theta}\right) \vec{p}_i(t) + \vec{f}_C dt$

7) $\frac{1}{N} \sum \vec{p}_i(t + dt) = \frac{dt}{\theta N} \sum \vec{p}_{i0}^+ + \frac{(1 - \frac{dt}{\theta})}{N} \sum \vec{p}_i(t) + \vec{f}_C dt$ (Tous les électrons subissent la même force)

Par isotropie, **la somme des \vec{p}_{i0}^+ est nulle**. On en déduit que $\vec{p}(t + dt) = \left(1 - \frac{dt}{\theta}\right) \vec{p}(t) + \vec{f}_C dt \Leftrightarrow$

$\frac{\vec{p}(t+dt) - \vec{p}(t)}{dt} + \frac{\vec{p}(t)}{\theta} = \vec{f}_C \rightarrow \frac{d\vec{p}}{dt} + \frac{\vec{p}(t)}{\theta} = \vec{f}_C$ Or la deuxième loi de Newton s'écrit $\frac{d\vec{p}}{dt} = \vec{f}_C - \frac{\vec{p}(t)}{\tau}$

On peut affirmer que $\theta = \tau$

8) L'erreur serait d'interpréter $\frac{1}{\tau}$ comme une densité de probabilité et écrire $\Pi(t) = 1 - \int_0^t \frac{dt}{\tau} = 1 - \frac{t}{\tau} \dots$

Par contre, le fait qu'un électron n'ait pas subi de collision entre 0 et $t + dt$ est l'enchaînement de deux évènements indépendants, celui de ne pas avoir subi de collision ni entre 0 et t ni entre t et $t + dt$:

$\Pi(t + dt) = \Pi(t) \left(1 - \frac{dt}{\tau}\right) \rightarrow \frac{d\Pi}{dt} + \frac{\Pi}{\tau} = 0 \rightarrow \Pi(t) = e^{-\frac{t}{\tau}} \quad (0 < \Pi(t) < 1)$

La probabilité qu'un électron ait subi un choc entre 0 et t est donc $1 - e^{-\frac{t}{\tau}}$

On peut écrire cette probabilité sous la forme $\int_0^t \frac{1}{\tau} e^{-\frac{t'}{\tau}} dt' = \int_0^t f(t') dt'$, expressions dans lesquelles

on reconnaît **la densité de probabilité de collision en t' à dt' près** : $f(t') = \frac{1}{\tau} e^{-\frac{t'}{\tau}} \quad \left(\lim_{\infty} f(t') = 0\right)$

Ainsi $\langle t' \rangle = \int_0^{\infty} \frac{t'}{\tau} e^{-\frac{t'}{\tau}} dt' = \left[-t' e^{-\frac{t'}{\tau}}\right]_0^{\infty} + \int_0^{\infty} e^{-\frac{t'}{\tau}} dt' = \tau$ **Durée moyenne entre deux collisions.**

9) Le flux j_q est orienté selon \vec{u}_x . Le nombre d'électrons traversant par unité de temps la surface unitaire avec une vitesse **positive** est $\frac{n}{2}v$. Ils véhiculent l'énergie $\mathcal{E}(T(x - v\tau))$ et contribuent **positivement** à j_q . Le nombre d'électrons traversant par unité de temps la surface unitaire avec une vitesse **négative** est $\frac{n}{2}v$. Ils véhiculent l'énergie $\mathcal{E}(T(x + v\tau))$ et contribuent **négativement** à .

10) En considérant $v\tau \ll x$, $\mathcal{E}(T(x - v\tau)) - \mathcal{E}(T(x + v\tau)) \sim -\frac{d\mathcal{E}}{dT} \frac{dT}{dx} 2v\tau$ Ainsi $j_q = -n\tau v^2 C_v \frac{dT}{dx}$

11) $v^2 = \langle v_x^2 \rangle = \frac{kT}{m}$ et $C_v = \frac{k}{2} \rightarrow \lambda = \frac{n\tau k^2}{2m} \rightarrow \left(\frac{\lambda}{\gamma T}\right)_{dim 1} = \frac{k^2}{2e^2}$

12) A trois dimensions, il est intéressant d'imaginer que les électrons se répartissent en six catégories : $\{v_x > 0 ; v_y = v_z = 0\}$ $\{v_x < 0 ; v_y = v_z = 0\}$ $\{v_y > 0 ; v_x = v_z = 0\}$ $\{v_y < 0 ; v_x = v_z = 0\}$...

On reprend donc l'expression de $j_{q,x} = \frac{1}{6}nv[\mathcal{E}(T(x - v\tau)) - \mathcal{E}(T(x + v\tau))]$ $\rightarrow j_{q,x} = -\frac{1}{3}n\tau v^2 C_v \frac{dT}{dx}$

De plus, dorénavant $v^2 = \frac{3kT}{m}$ et $C_v = \frac{3k}{2} \rightarrow \left(\frac{\lambda}{\gamma T}\right)_{dim 3} = \frac{3k^2}{2e^2}$

13 & 14) $\lambda = \frac{\pi^2 n\tau k^2 T}{3m} \rightarrow \kappa = \frac{\pi^2 k^2}{3e^2} = 2,4 \cdot 10^{-8} J^2 \cdot K^{-2} \cdot C^{-2}$ Alors que $\left(\frac{\lambda}{\gamma T}\right)_{dim 3} = 1,1 \cdot 10^{-8} J^2 \cdot K^{-2} \cdot C^{-2}$

L'énergie d'agitation thermique est beaucoup trop faible devant l'énergie de Fermi, les états énergétiques ne constituent pas un continuum d'énergie, **le théorème d'équipartition de l'énergie ne s'applique pas**.

15) On mesure la masse volumique d'un solide à l'aide d'une balance à fléau. La première pesée s'effectue dans l'air (m) puis on procède à **une seconde pesée avec le solide plongé dans de l'eau** (m').

$$\rho = \frac{m}{V} = \frac{m}{(m - m')/\rho_{eau}} = \frac{m\rho_{eau}}{m - m'}$$

On mesure la capacité thermique d'un solide à l'aide d'un calorimètre. De l'eau chaude en équilibre avec le solide ($m_2^{eau} + m, T_2$) est ajoutée à de l'eau froide (m_1^{eau}, T_1) à l'équilibre dans le calorimètre (C).

La température finale T vérifie la relation $(m_2^{eau} c^{eau} + mc)(T - T_2) + (m_1^{eau} c^{eau} + C)(T - T_1) = 0$

$$c = \frac{(m_1^{eau} c^{eau} + C)(T - T_1)}{m(T_2 - T)} - \frac{m_2^{eau} c^{eau}}{m}$$

16) On applique le premier principe à la tranche de surface unitaire située entre x et $x + dx$:

$$\rho c dx \frac{\partial T}{\partial t} = j_q(x, t) - j_q(x + dx, t) = -\frac{\partial j_q}{\partial x} dx = \lambda \frac{\partial^2 T}{\partial x^2} dx \rightarrow \frac{\partial^2 T}{\partial x^2} - \frac{\rho c}{\lambda} \frac{\partial T}{\partial t} = 0 \quad (D = \frac{\lambda}{\rho c})$$

17-20) $D \frac{f''(x)}{f(x)} = \frac{g'(t)}{g(t)} = -Dk^2$ (Constante négative afin d'éviter une limite infinie dans le temps)

$$T(x, t) = e^{-Dk^2 t} [U \cos(kx) + W \sin(kx)]$$

La plaque étant isolée, les conditions aux limites sont $\left(\frac{\partial T}{\partial x}\right)_0 = \left(\frac{\partial T}{\partial x}\right)_L = 0 \rightarrow W = 0$ et $kL = n\pi \Leftrightarrow k_n = \frac{n\pi}{L}$

Par linéarité de l'équation d'onde, la solution est la combinaison linéaire des modes propres :

$$T(x, t) = \sum_0^\infty e^{-\frac{n^2 \pi^2 D t}{L^2}} \left[u_n \cos\left(\frac{n\pi x}{L}\right) \right] \quad \text{Reste à exploiter la condition initiale, } T(x, 0) = \sum_0^\infty u_n \cos\left(\frac{n\pi x}{L}\right)$$

Pour cela, multiplions les deux membres par $\cos\left(\frac{m\pi x}{L}\right)$ ($m \in N^*$) et intégrons entre 0 et L :

$$\frac{\Gamma L}{\delta} \int_0^\delta \cos\left(\frac{m\pi x}{L}\right) dx = u_0 \int_0^L \cos\left(\frac{m\pi x}{L}\right) dx + \sum_{n=1}^\infty u_n \int_0^L \cos\left(\frac{n\pi x}{L}\right) \cos\left(\frac{m\pi x}{L}\right) dx \Leftrightarrow \Gamma \frac{\sin\left(\frac{m\pi\delta}{L}\right)}{\frac{m\pi\delta}{L}} = \frac{1}{2} u_m$$

$T(x, 0)$ nulle en dehors de $[0 ; \delta]$ et $\sum_{n=1}^\infty u_n \int_0^L \cos\left(\frac{n\pi x}{L}\right) \cos\left(\frac{m\pi x}{L}\right) dx = \frac{L}{2} u_m$ d'après le formulaire

Quant à la valeur moyenne u_0 , on la détermine en calculant $\langle T(x, 0) \rangle$ entre 0 et L : $u_0 = \frac{1}{L} \int_0^L \frac{\Gamma L}{\delta} dx = \Gamma$

21 & 22) $\frac{\sin\left(\frac{n\pi\delta}{L}\right)}{\frac{n\pi\delta}{L}} \sim 1$ et $\cos(n\pi) = (-1)^n$ $\alpha_1 t_{1/2} \sim 1,4$

23) La moitié de la montée en température est atteinte en $t = 60 \text{ ms} \rightarrow$

$$t_{1/2} = 12 \text{ ms} \rightarrow \alpha_1 = 1,2 \cdot 10^2 \text{ s}^{-1} \rightarrow D = 1,2 \cdot 10^{-4} \text{ m}^2 \cdot \text{s}^{-1} \rightarrow \lambda = 4,3 \cdot 10^2 \text{ W} \cdot \text{K}^{-1} \cdot \text{m}^{-1}$$

24) Oui, cela semble compatible. En effet, $\frac{\lambda}{\gamma T} \sim 2,4 \cdot 10^{-8} \text{ J}^2 \cdot \text{K}^{-2} \cdot \text{C}^{-2} \sim \kappa$ (Q 14)